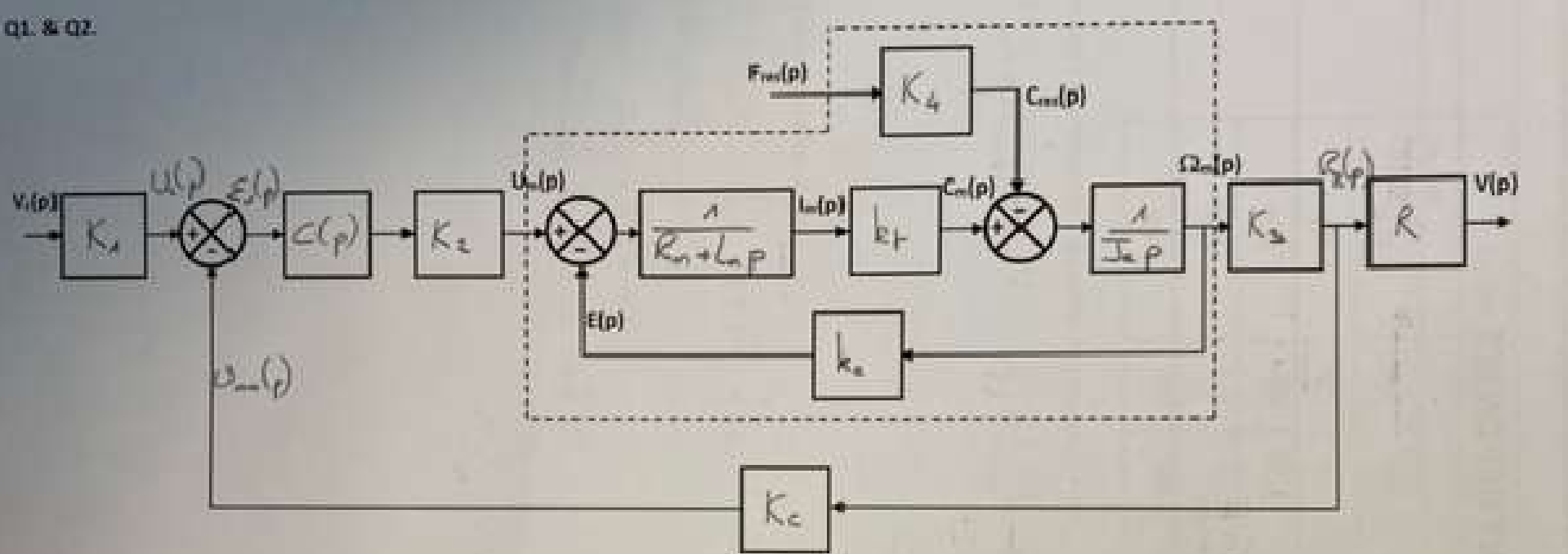


## DOCUMENT RÉPONSES

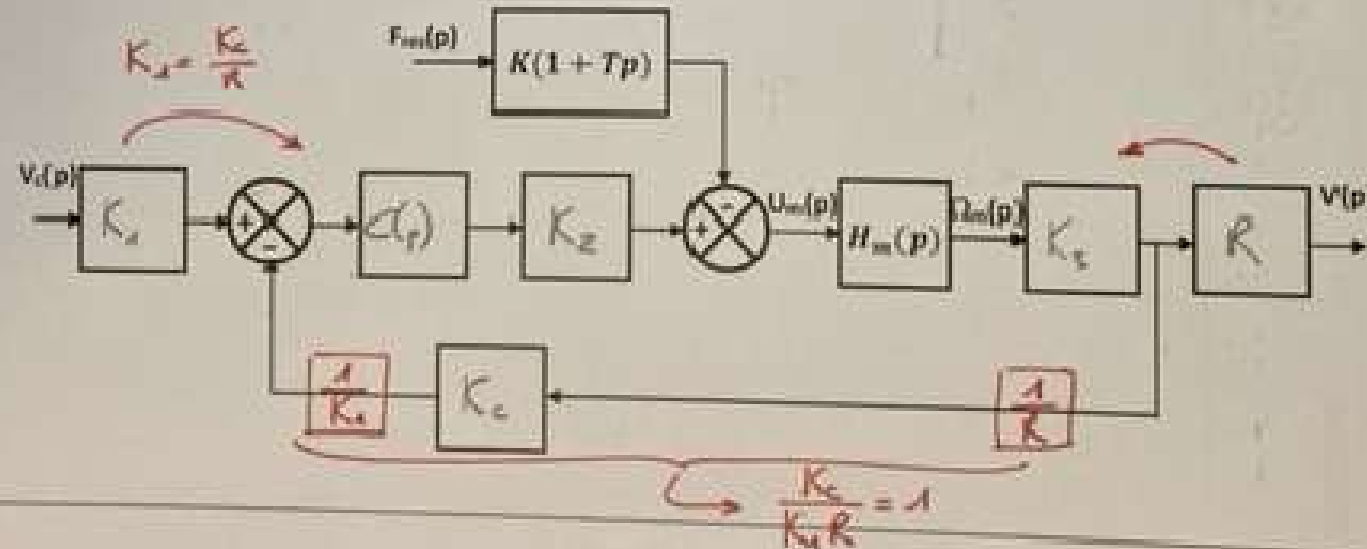
<u>Nom</u> :	<u>Note</u> :
<u>Prénom</u> :	
<u>Observations</u> :	
<b>CORRIGÉ</b>	

Q1 &amp; Q2



Q3

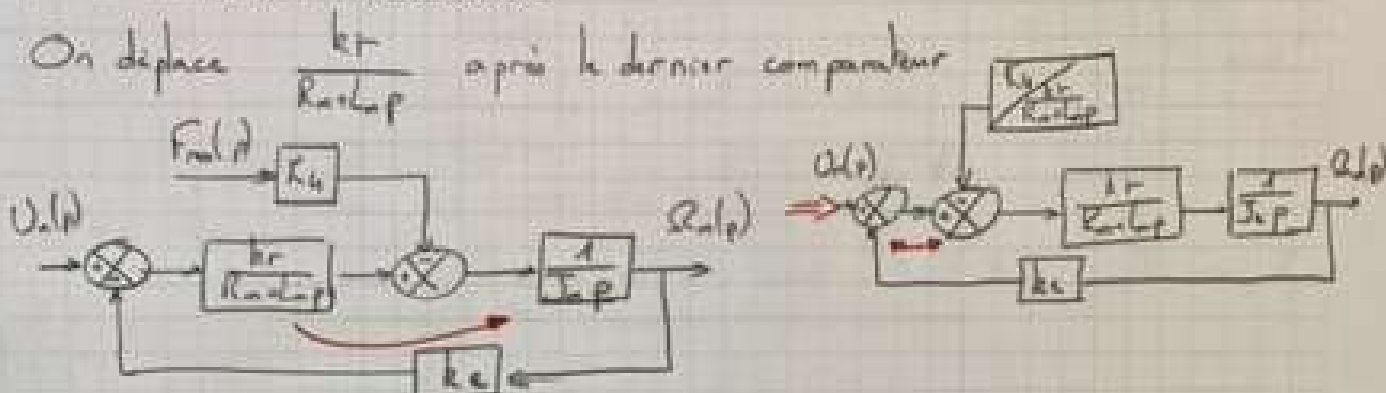
Généralités



Justification de la forme du nouveau schéma bloc avec perturbation décalée en amont du moteur :

Expression de  $K$  et de  $T$  :

Expression de  $H_m(p)$  sous forme canonique :



Puis on intervertis les 2 comparateurs

$$\text{D'où } K(1+T_p) = \frac{K_c}{k_r} (R_m + L_p) = \frac{K_c R_m}{k_r} (1 + \frac{L_p}{R_m} p)$$

Puis théorème de Black dans la BF

$$\begin{aligned} H_m(p) &= \frac{\frac{k_r}{1 + \frac{k_r k_b}{I_p(L_m + L_p)}}}{1 + \frac{k_r k_b}{I_p(L_m + L_p)}} = \frac{k_r}{I_p(L_m + L_p) + k_r k_b} \\ &= \frac{1}{k_b} \cdot \frac{1}{1 + \frac{I_p L_m}{k_r k_b} p + \frac{I_p L_p}{k_r k_b} p} \end{aligned}$$

$$K = \frac{K_c R_m}{k_r}$$

$$T = \frac{L_m}{R_m}$$

$$H_m(p) = \frac{1}{k_b} \cdot \frac{1}{1 + \frac{I_p R_m}{k_r k_b} p + \frac{I_p L_p}{k_r k_b} p}$$

Q4. Expression de  $K_c$ :

On voit  $E_v(p) = 0$  quand  $V(p) = V_c(p)$

$$\alpha E_v(p) = K_c V_c(p) - \frac{K_c}{R} V(p)$$

$$\text{D'où } K_c = \frac{K_c}{R}$$

Q5. Expression de  $K_a$  et de  $K_b$ . On pourra expliquer sur le schéma bloc de Q3. Les manipulations effectuées

les deux départs pour être impliquant  $K_a = K_a K_a = \frac{K_c K_a}{R}$

$$\text{et } K_b = R L_3$$

$$K_a = \frac{K_c K_a}{R}$$

$$K_b = R K_3$$

Q6. Expressions de  $H_1(p)$  et de  $H_2(p)$  :

On pourra détailler les différentes étapes du raisonnement en simplifiant le schéma bloc selon les cas.

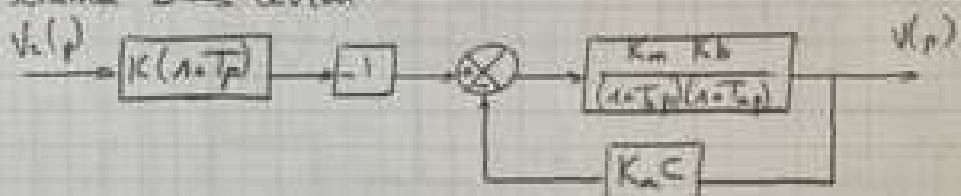
$$\textcircled{1} \quad F_{\text{rel}}(p) = 0$$

Donc :  $H_1(p) = \frac{K_a C K_m K_b}{(1+T_p)(1+T_m)} = \frac{K_a C K_m K_b}{(1+T_p)(1+T_m) + K_a C K_m K_b}$

On pose  $K_{\text{so}} = C K_a K_b K_m$  donc  $H_1(p) = \frac{K_{\text{so}}}{1+K_{\text{so}}} \cdot \frac{1}{1 + \frac{T_b + T_m}{1+K_{\text{so}}} p + \frac{T_b T_m}{1+K_{\text{so}}} p^2}$

$$\textcircled{2} \quad V_{\text{rel}}(p) = 0$$

Le schéma blocs devient :



Donc :  $H_1(p) = \frac{V(p)}{F_{\text{rel}}(p)} = K(1+T_p) \frac{\frac{K_m K_b}{(1+T_p)(1+T_m)}}{1 + \frac{K_m K_b K_c}{(1+T_p)(1+T_m)}}$

$$= K(1+T_p) \frac{K_m K_b}{(1+T_p)(1+T_m) + \frac{K_a K_b K_c}{1+T_p}}$$

$$= \frac{K K_a K_b}{1+K_{\text{so}}} \cdot \frac{(1+T_p)}{1 + \frac{T_b + T_m}{1+K_{\text{so}}} p + \frac{T_b T_m}{1+K_{\text{so}}} p^2}$$

$$H_1(p) = \frac{K_{\text{so}}}{1+K_{\text{so}}} \cdot \frac{1}{1 + \frac{T_b + T_m}{1+K_{\text{so}}} p + \frac{T_b T_m}{1+K_{\text{so}}} p^2}$$

$$H_2(p) = \frac{K K_a K_b}{1+K_{\text{so}}} \cdot \frac{1+T_p}{1 + \frac{T_b + T_m}{1+K_{\text{so}}} p + \frac{T_b T_m}{1+K_{\text{so}}} p^2}$$

Q7. Expression de  $v(+\infty)$  en absence de perturbations et conclusion sur l'exigence 1.1.3 :

$$v(+\infty) \stackrel{NR}{=} \lim_{p \rightarrow 0} p V(p) \Big|_{F_0(\rho)=0} = \lim_{p \rightarrow 0} p \cdot H_0(p) \cdot V_0(p) \stackrel{C}{=} \frac{V_0}{f} (\text{cible})$$

Donc  $\sigma(+\infty) = \frac{K_{b0}}{1+K_{b0}} \cdot V_0$

$\neq V_0 \Rightarrow \text{CDC 1.1.3 } \underline{KO}$

Q8. Expression de la chute de vitesse  $\Delta v(+\infty)$  à l'apparition d'une perturbation :

$$\Delta v(+\infty) \stackrel{NR}{=} \lim_{p \rightarrow 0} p V(p) \Big|_{F_0(\rho)=0} = \lim_{p \rightarrow 0} p \cdot H_0(p) \cdot F_m(p) \stackrel{C}{=} \frac{F_m}{f} (\text{cible})$$

Donc  $\Delta v(+\infty) = \frac{K L_m K_b}{1+K_{b0}} \cdot F_m$

Q9. Détermination de  $C_{pert}$ :

On veut  $\frac{K L_m K_b}{1+K_{b0}} F_m <_{0,1} \frac{K_{b0}}{1+K_{b0}} V_0$

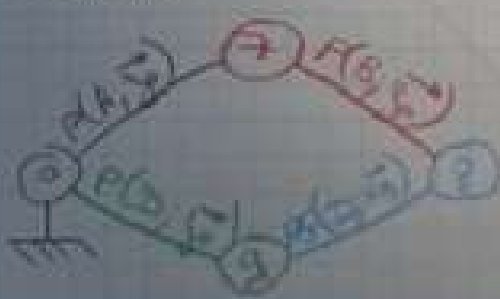
$\hookrightarrow K_{b0} > 10 K L_m K_b \frac{F_m}{V_0}$

avec  $K_{b0} = C L_m K_b K_m$

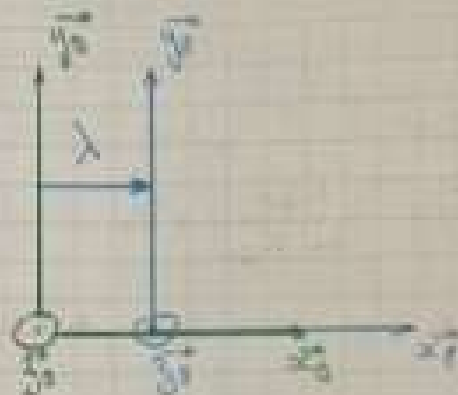
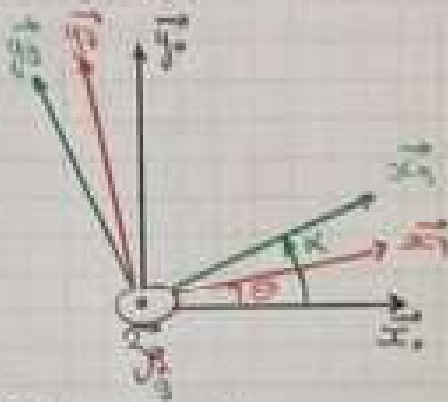
On a donc

$$C_{pert} = 10 \frac{K}{K_m} \frac{F_m}{V_0}$$

Q10. Graphe de liaisons :



## Q11. Figures géométrales :



## Q12. Loi entrée-sortie :

fermeture géométrique :  $\vec{AB} + \vec{BD} + \vec{DA} = \vec{0}$

$$\Rightarrow b\vec{x}_2 - \lambda\vec{x}_3 - d\vec{x}_1 - b\vec{y}_2 = \vec{0}$$

$$\text{En projection sur } \left\{ \begin{array}{l} \vec{x}_1 - b\cos\theta + \lambda\cos\alpha - d = 0 \\ \vec{y}_1 - b\sin\theta + \lambda\sin\alpha - b = 0 \end{array} \right.$$

$$\Leftrightarrow \begin{cases} \lambda\cos\alpha = d + b\sin\theta \\ \lambda\sin\alpha = b - b\cos\theta \end{cases}$$

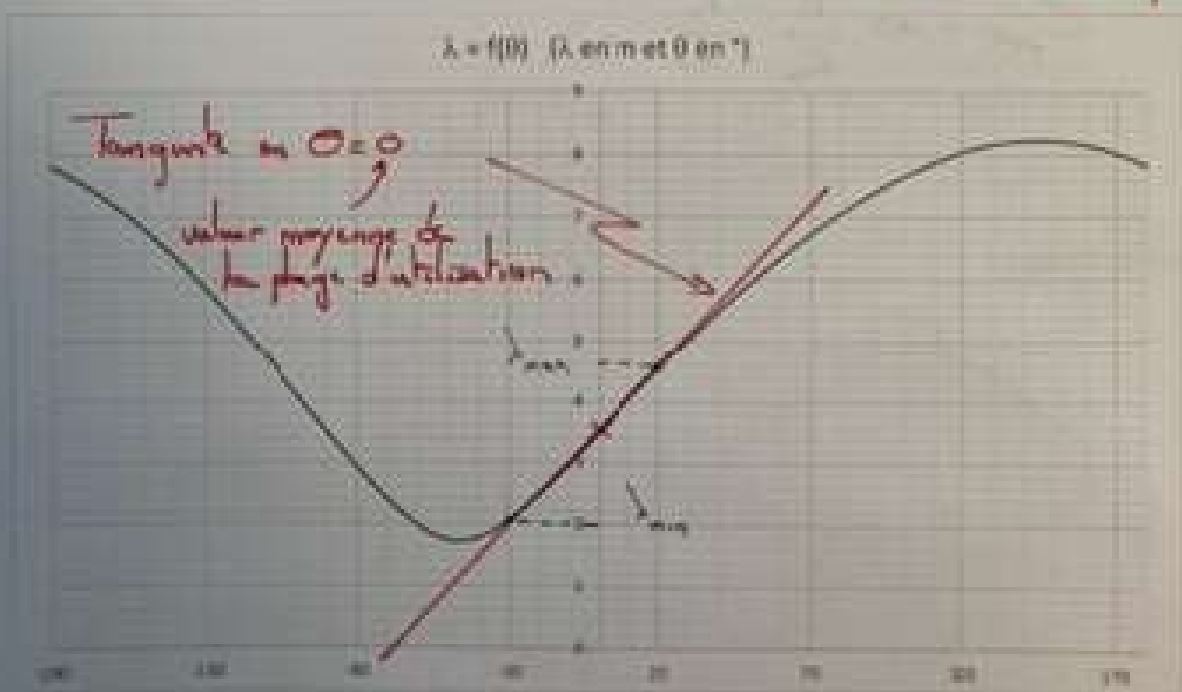
$$\Leftrightarrow \lambda^2 = (d + b\sin\theta)^2 + (b - b\cos\theta)^2$$

$$\Leftrightarrow \lambda = \sqrt{(d + b\sin\theta)^2 + (b - b\cos\theta)^2}$$

En relevant la relation car  $\vec{BD} = \lambda\vec{x}_3$

$\vec{BD}$  à même sens que  $\vec{x}_3$

## Q13.



Course du vérin :

Notez  $\Delta \lambda$  la course du vérin :  $\Delta \lambda = \lambda_{max} - \lambda_{min}$   
 $= \lambda(\Theta=30^\circ) - \lambda(\Theta=30^\circ)$

Graphiquement :

$$\Delta \lambda = 4,6 - 2 \Rightarrow \Delta \lambda = 2,6 \text{ m}$$

Q14. Linéarisation de la loi entrée sortie :

Où linierai je déterminer l'équation de la tangente en  $\Theta=0^\circ$  car c'est la valeur moyenne de la plage d'ablation des bâtières à houle.

Graphiquement  $\lambda_0 = \frac{\Delta \lambda \Theta + 3,5}{60} \Rightarrow \lambda = 0,04 \cdot \Theta + 3,5$   
 $(\Theta_{min} = 0^\circ \text{ et } \lambda_{min} = 3,5)$

Q15.

